

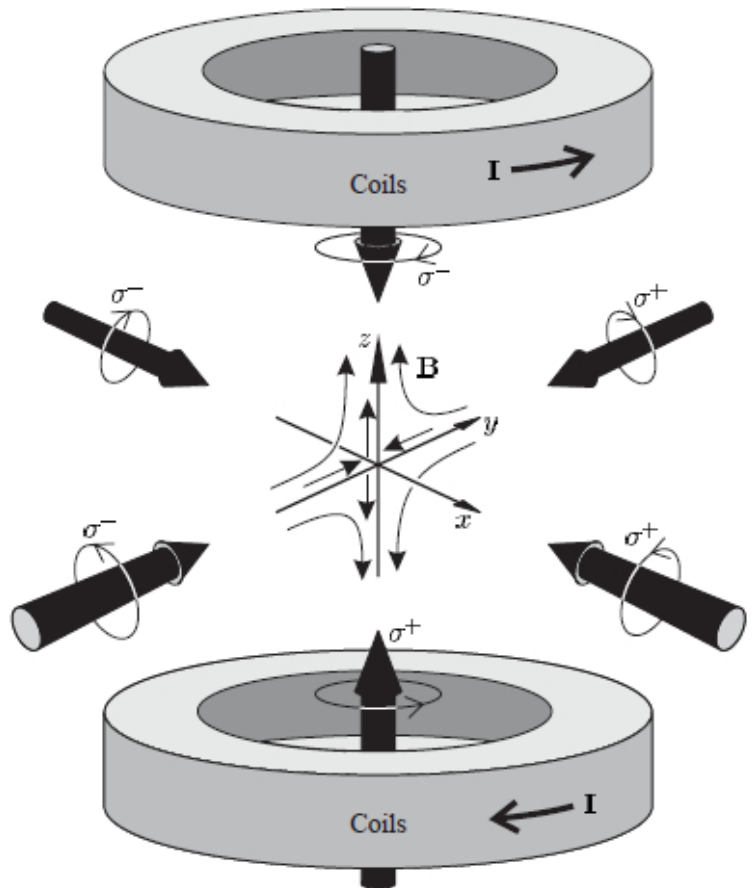
Precizno ugađanje temperature u sustavu hladnih atoma rubidija

Ivana Puljić, 29.01.2020.

Fizički odsjek, PMF, Bijenička cesta 32, 10 000 Zagreb

Mentor: dr.sc. Ticijana Ban, Institut za fiziku

Magneto-optička stupica

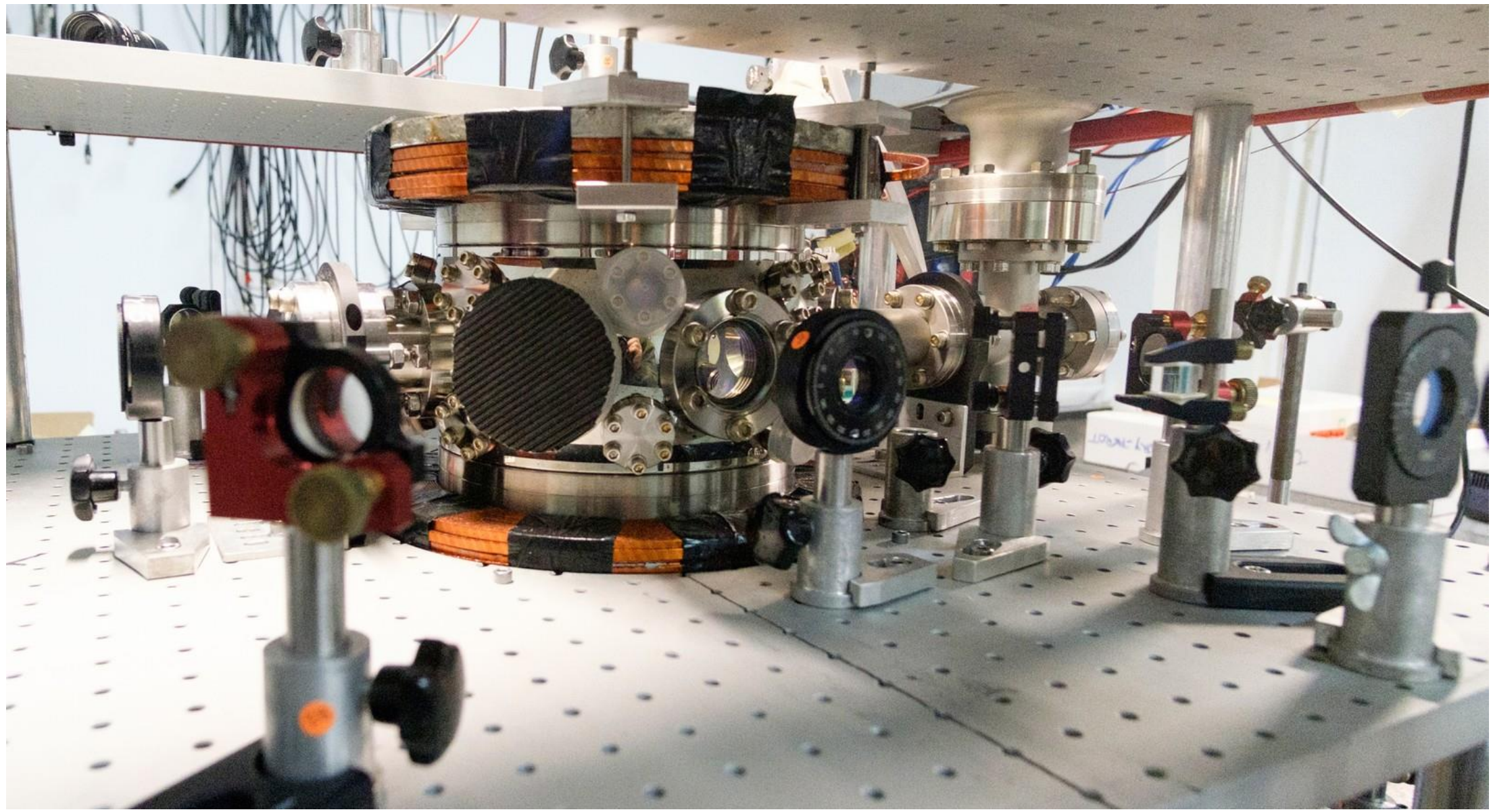


- tri ortogonalna para laserskih zraka dobro definiranih polarizacija + gradijent magnetskog polja
- čelična komora nalazi se u sredini konfiguracije
- tlak oko 10^{-8} mbar

$$\vec{F} = -\alpha \vec{v} - \beta \vec{r}$$

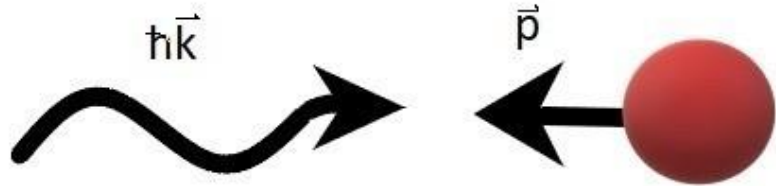
\vec{v} - brzina atoma

\vec{r} - udaljenost atoma od centra stupice

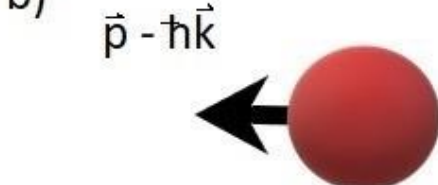


Međudjelovanje laserske svjetlosti sa atomom - hlađenje

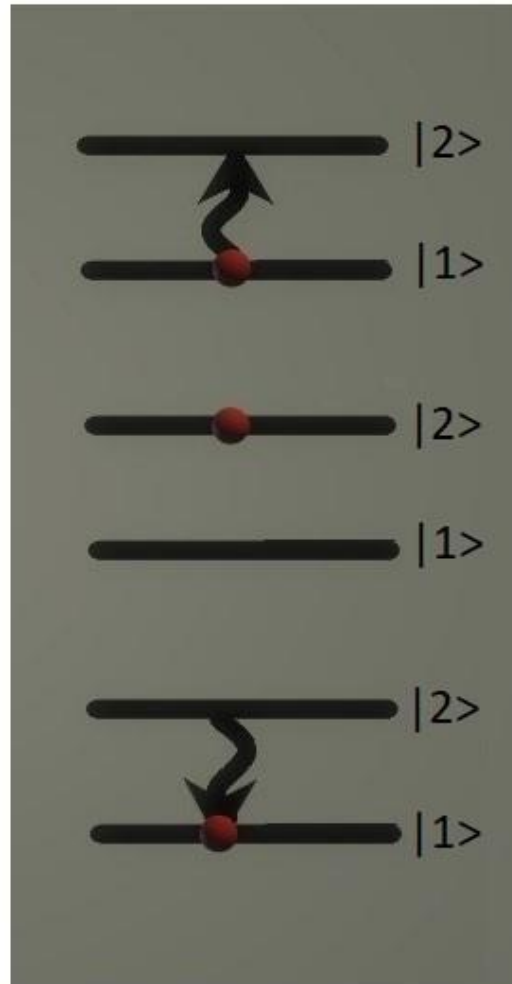
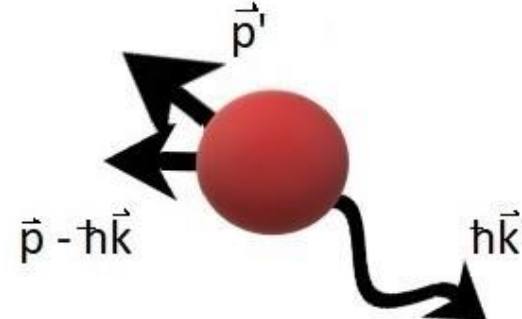
a)



b)



c)

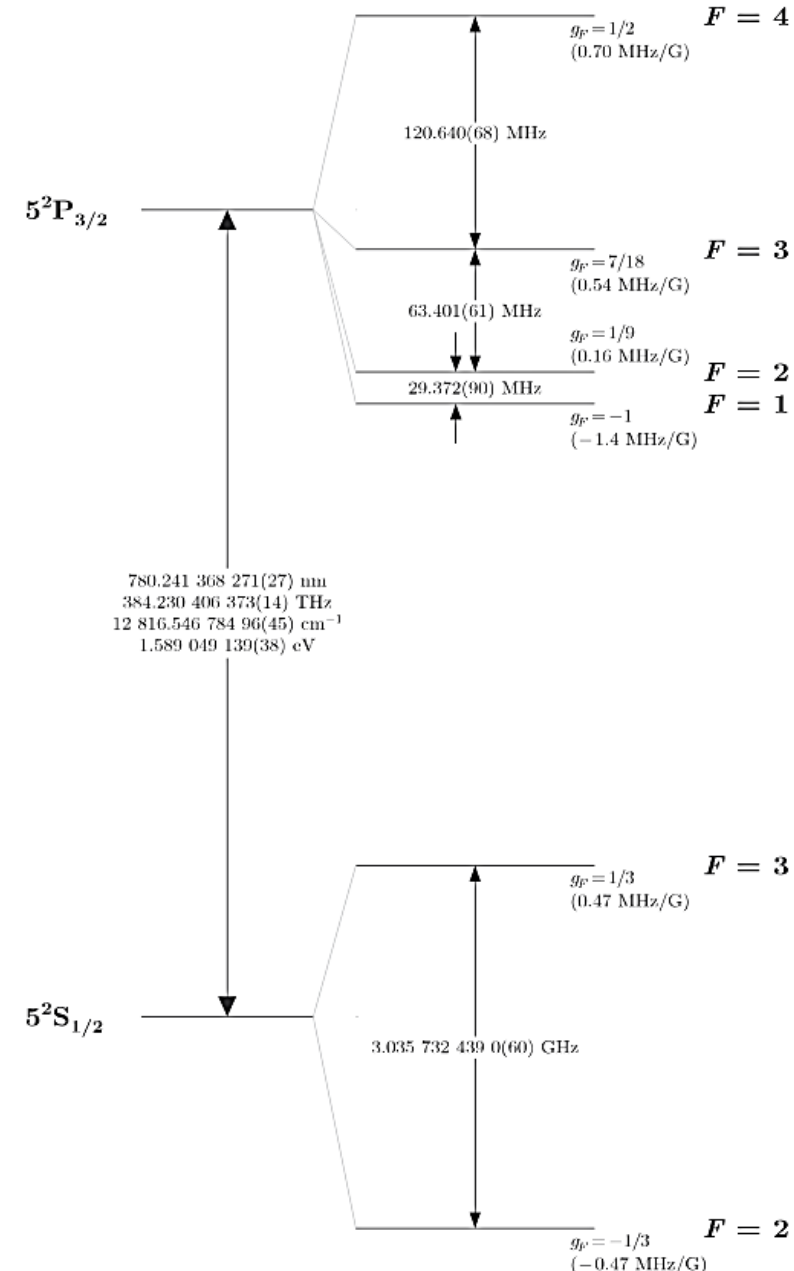


Frekvencija laserske svjetlosti manja od rezonantne frekvencije prijelaza u atomu – „laser pomaknut u crveno”

Međudjelovanje laserske svjetlosti s atomom: apsorpcija i spontana emisija.

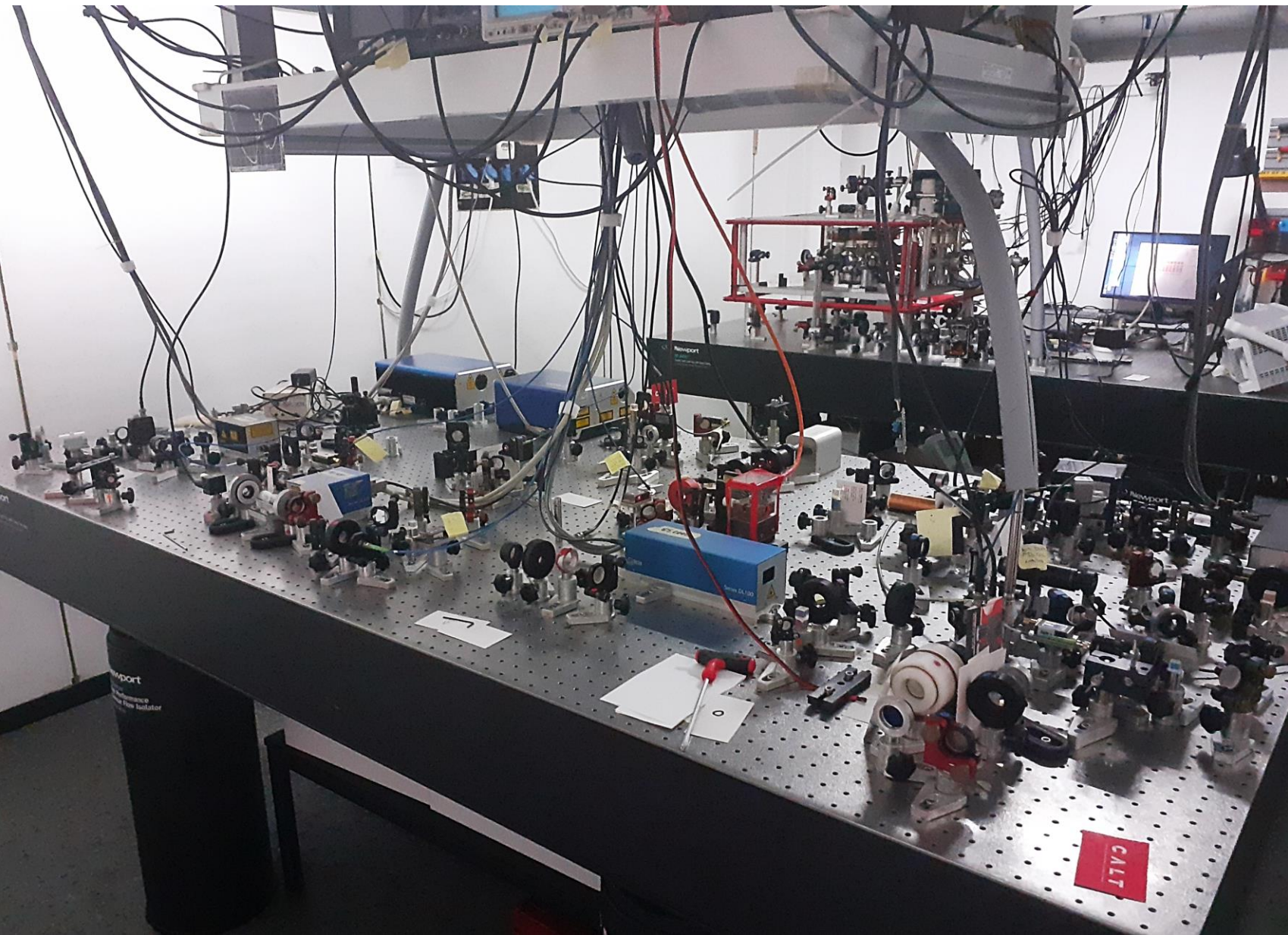
Atom rubidija ^{85}Rb

- 1) Laser za hlađenje – pobuđuje atome iz stanja $|5^2S_{1/2}, F = 3 >$ u stanje $|5^2S_{3/2}, F' = 4 >$
 - 2) Laser za naseljavanje – pobuđuje atome iz stanja $|5^2S_{1/2}, F = 2 >$ u stanje $|5^2S_{3/2}, F' = 3 >$
- Dopplerova temperatura [3]:
oko $146 \mu\text{K}$

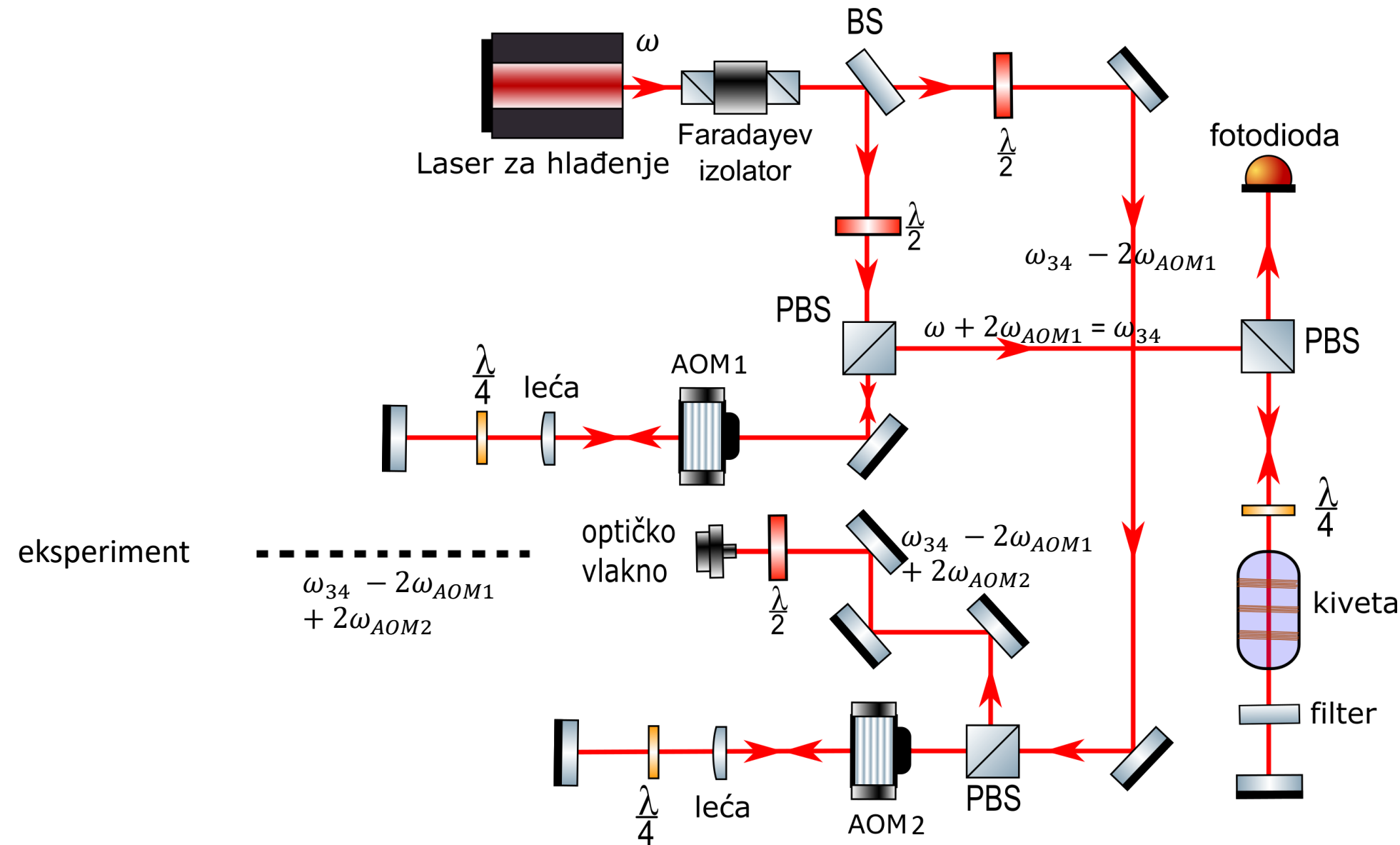


Hiperfini energijski nivoi atoma rubidija ^{85}Rb .
<https://steck.us/alkalidata/rubidium85numbers.pdf>

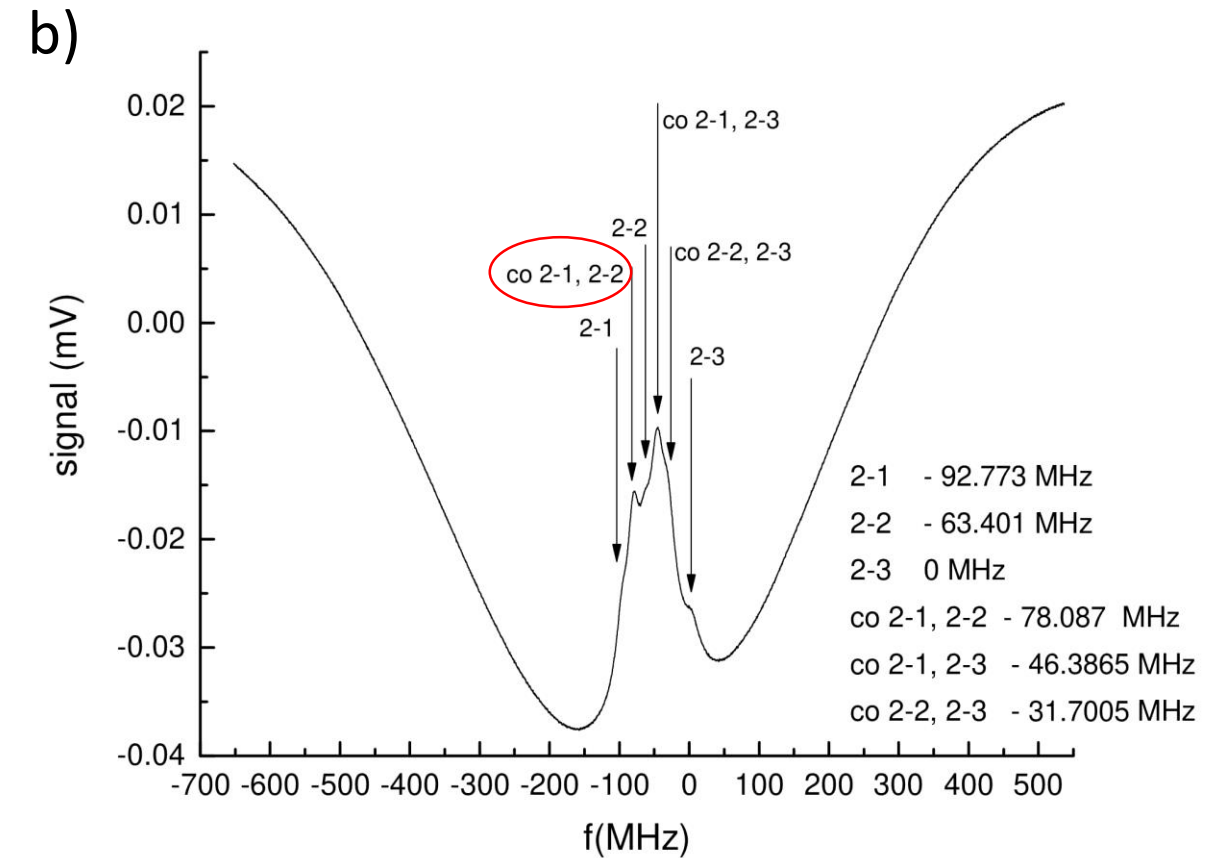
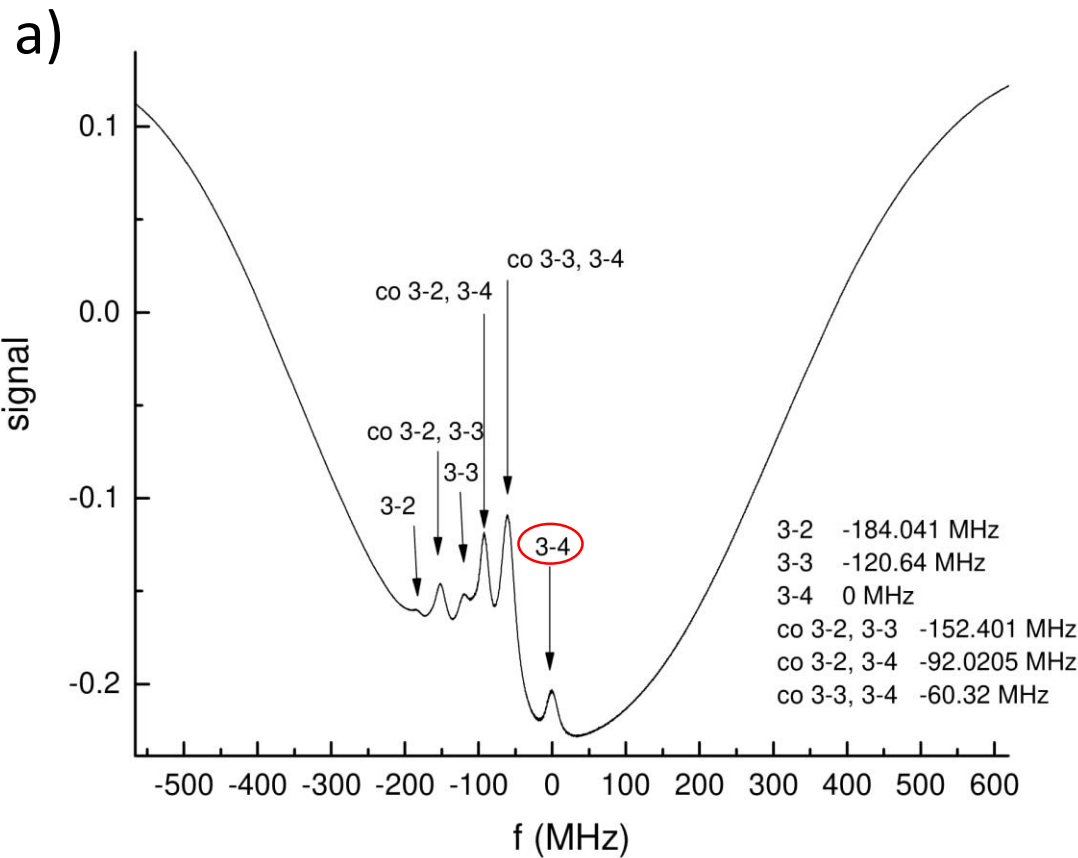
Eksperimentalni postav



Eksperimentalni postav za laser za hlađenje



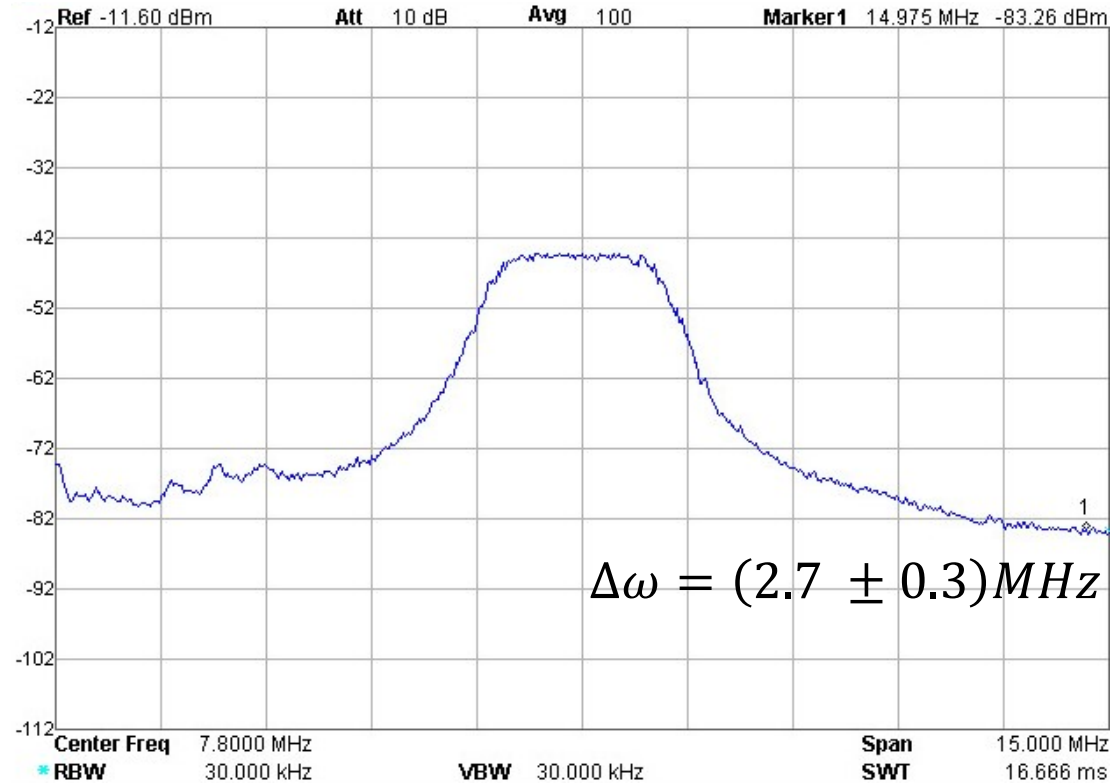
Hiperfini nivoi rubidija – saturacijska spektroskopija



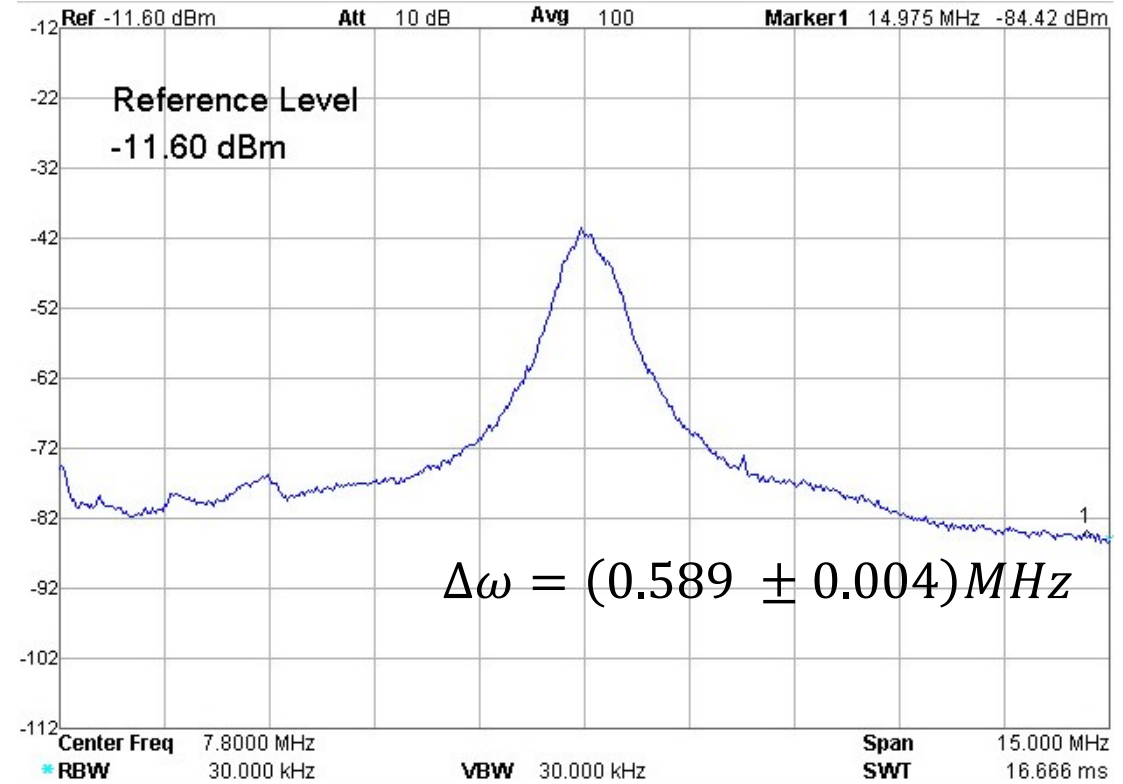
Spektri termalnih atoma ^{85}Rb dobiveni saturacijskom spektroskopijom: spektar lijevo prikazuje prijelaze iz $|5^2S_{1/2}, F = 3\rangle$ u gornja hiperfina stanja, a donja prijelaze iz $|5^2S_{1/2}, F = 2\rangle$ u gornja hiperfina stanja.

Mjerenje širine lasera za hlađenje heterodinom spektroskopijom

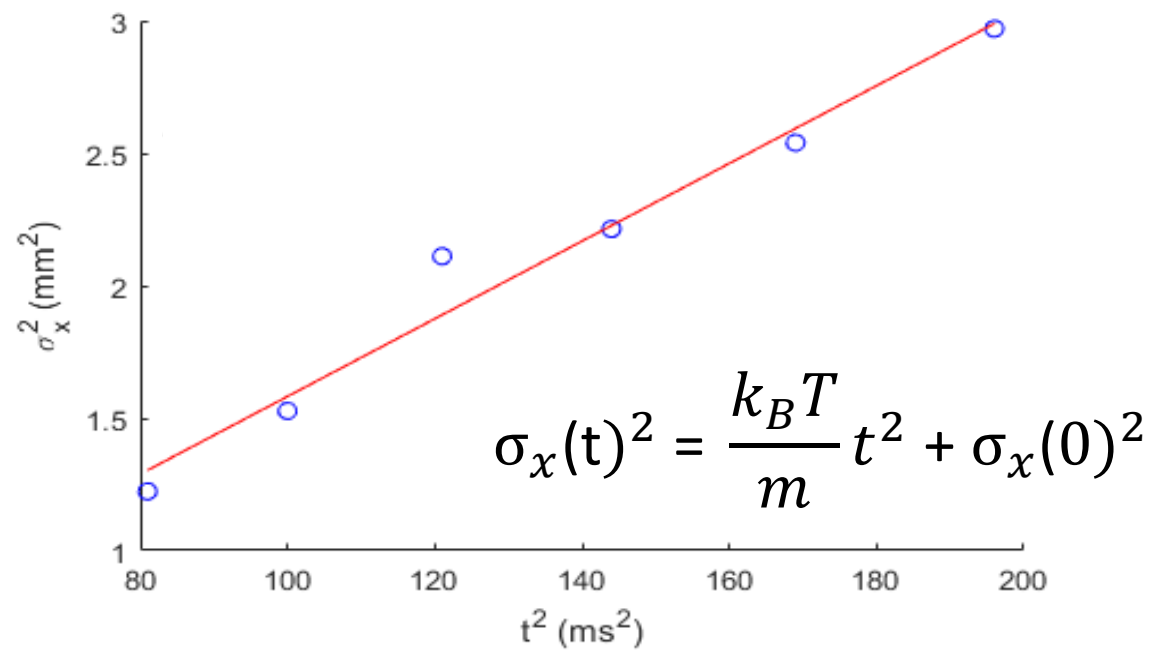
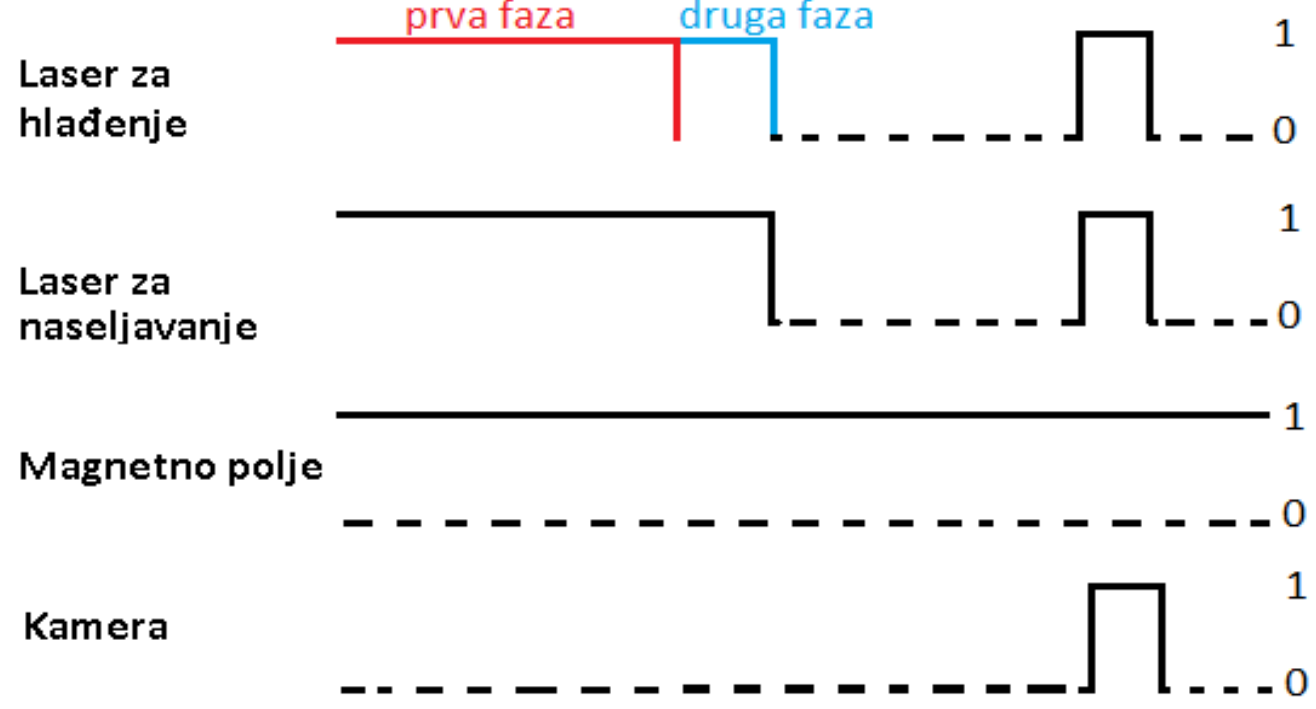
a)



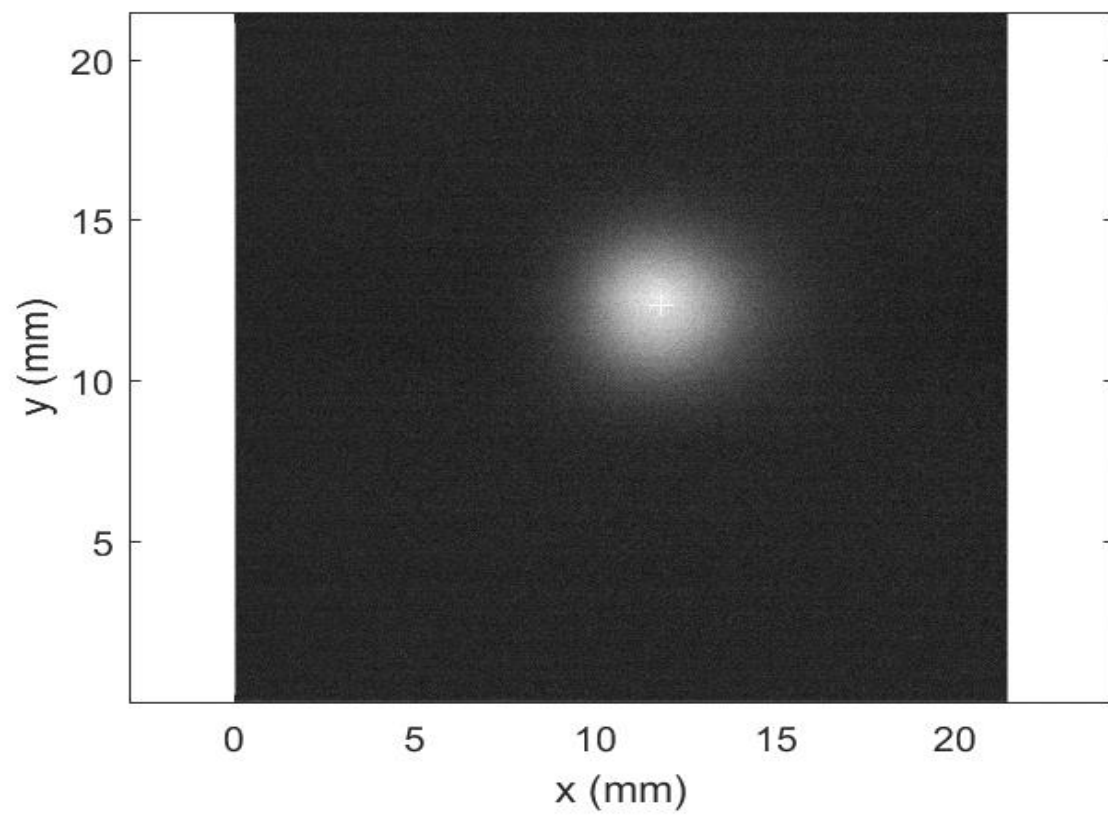
b)



Frekventni udari između lasera za hlađenje i referentnog lasera spektralne širine oko 100 kHz. Laser za hlađenje stabiliziran je a) direktnom modulacijom njegove frekvencije, b) modulacijom struje solenoida, odnosno modulacijom energija prijelaza u atomu.

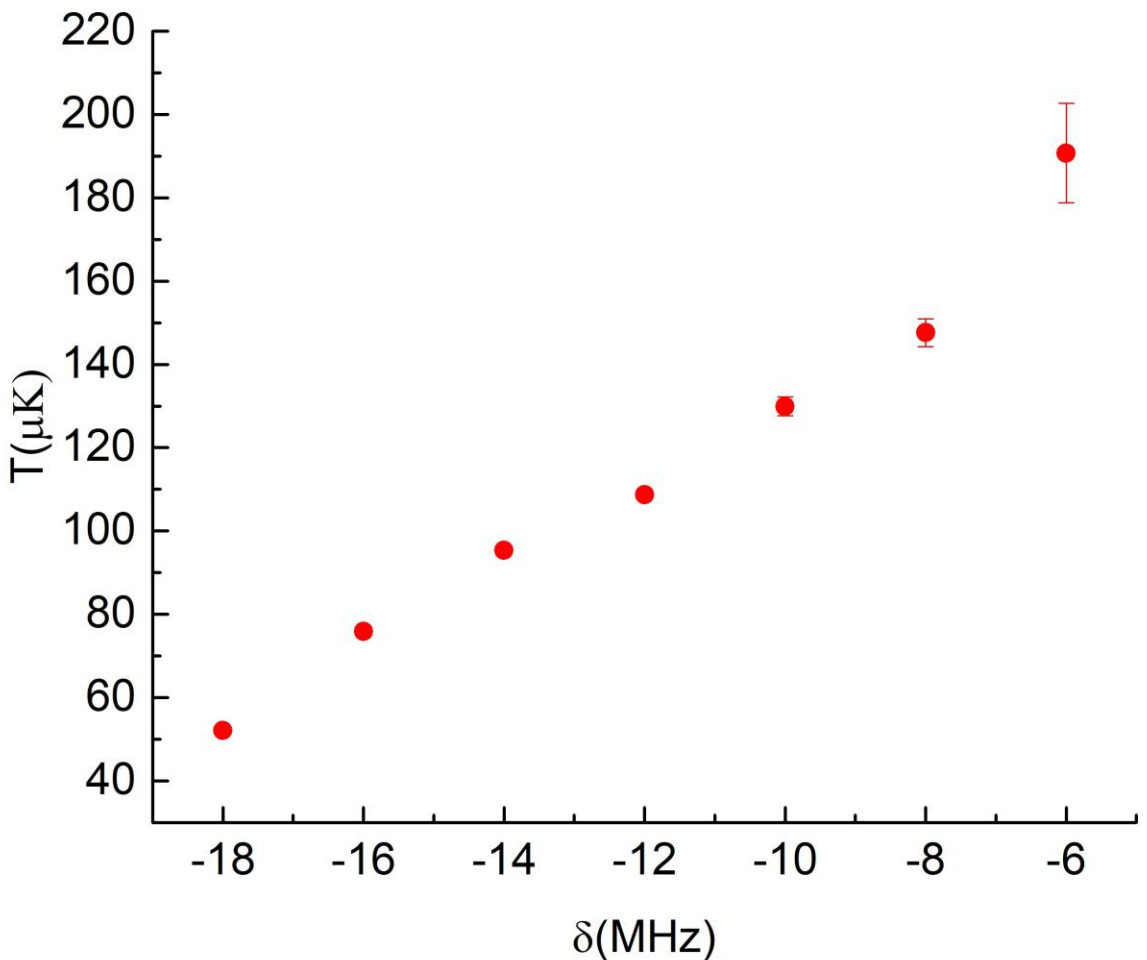


- vrijeme trajanja prve faze: 1500 ms
- odmak frekvencije lasera za hlađenje u prvoj fazi: - 16 MHz
- odmak frekvencije lasera za hlađenje u drugoj fazi: između - 6 MHz i – 16 MHz
- vrijeme trajanja slikanja: 150 μ s
- odmak frekvencije lasera za hlađenje kod slikanja: - 5 MHz
- laser za naseljavanje uvijek na rezonanciji



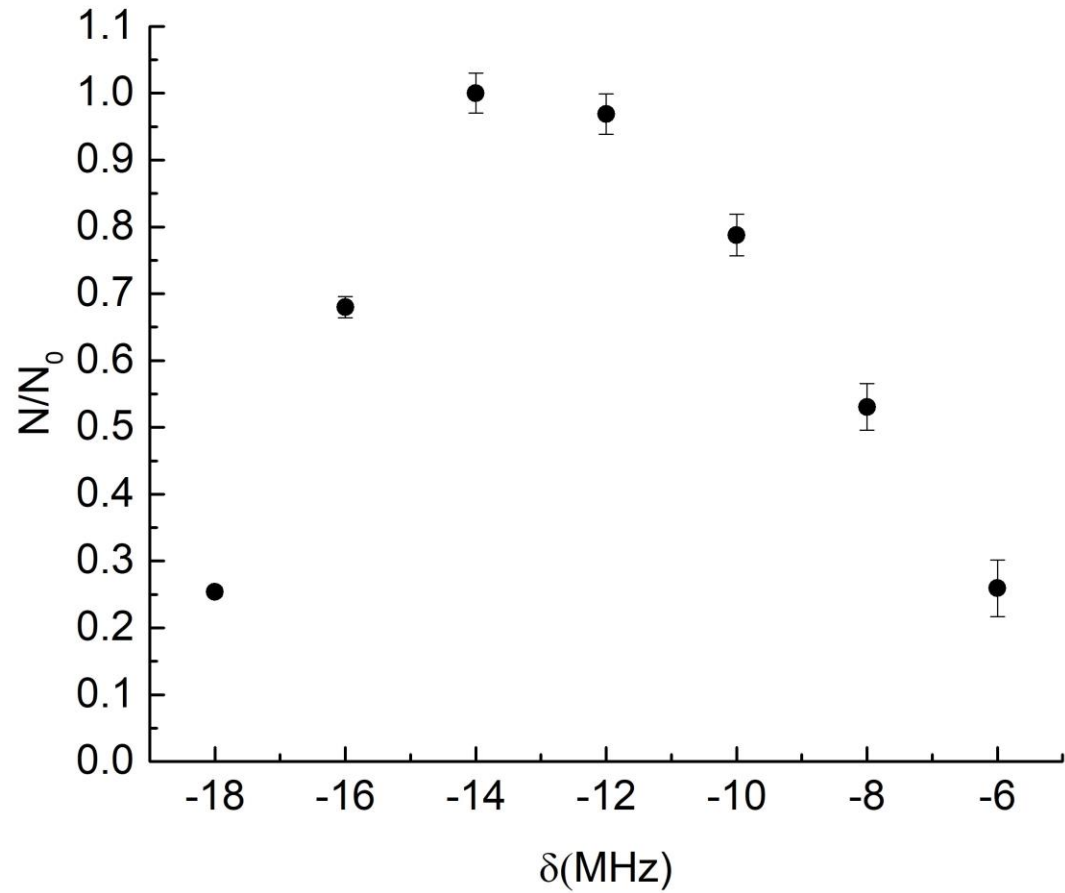
Snaga lasera za hlađenje: 26.6mW
Snaga lasera za naseljavanje: 3.7mW

Rezultati mjerjenja

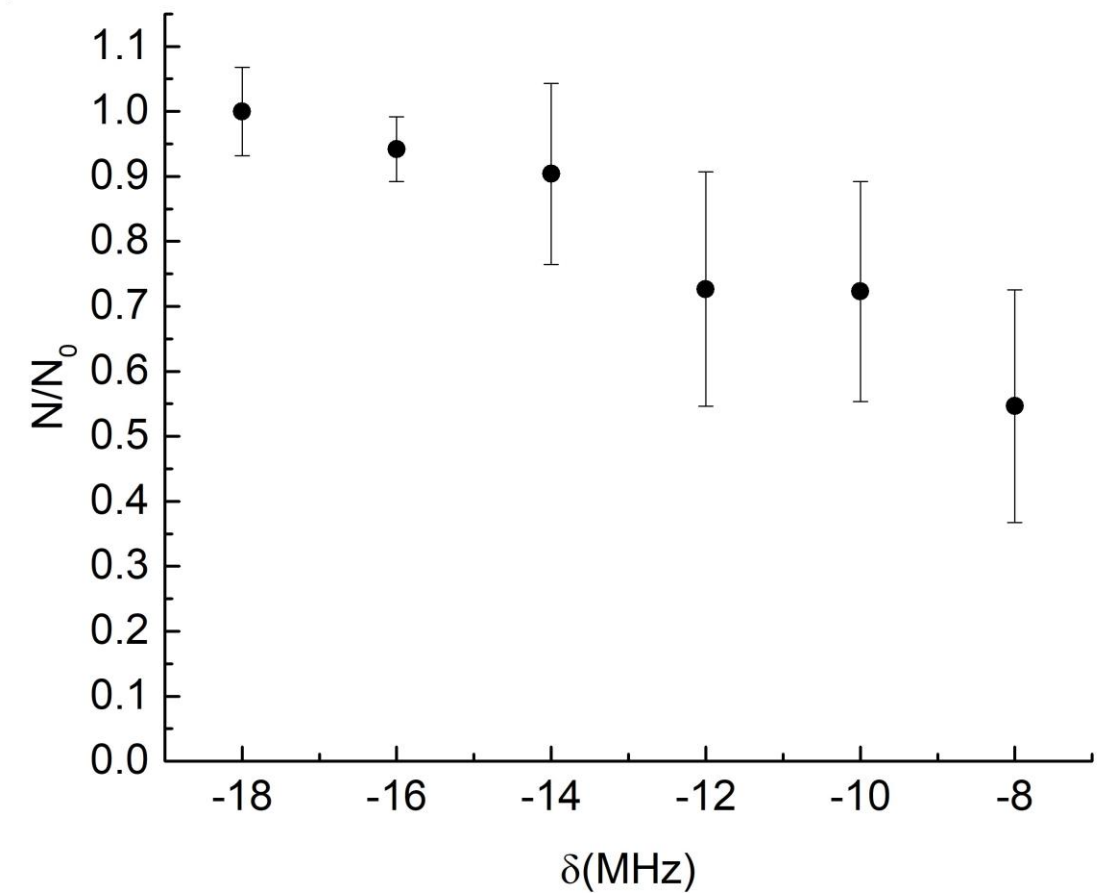


Temperature atoma ^{85}Rb u ovisnosti o frekvenciji odmaka lasera za hlađenje u slučaju hlađenja jednom fazom u trajanju od 1500 ms.

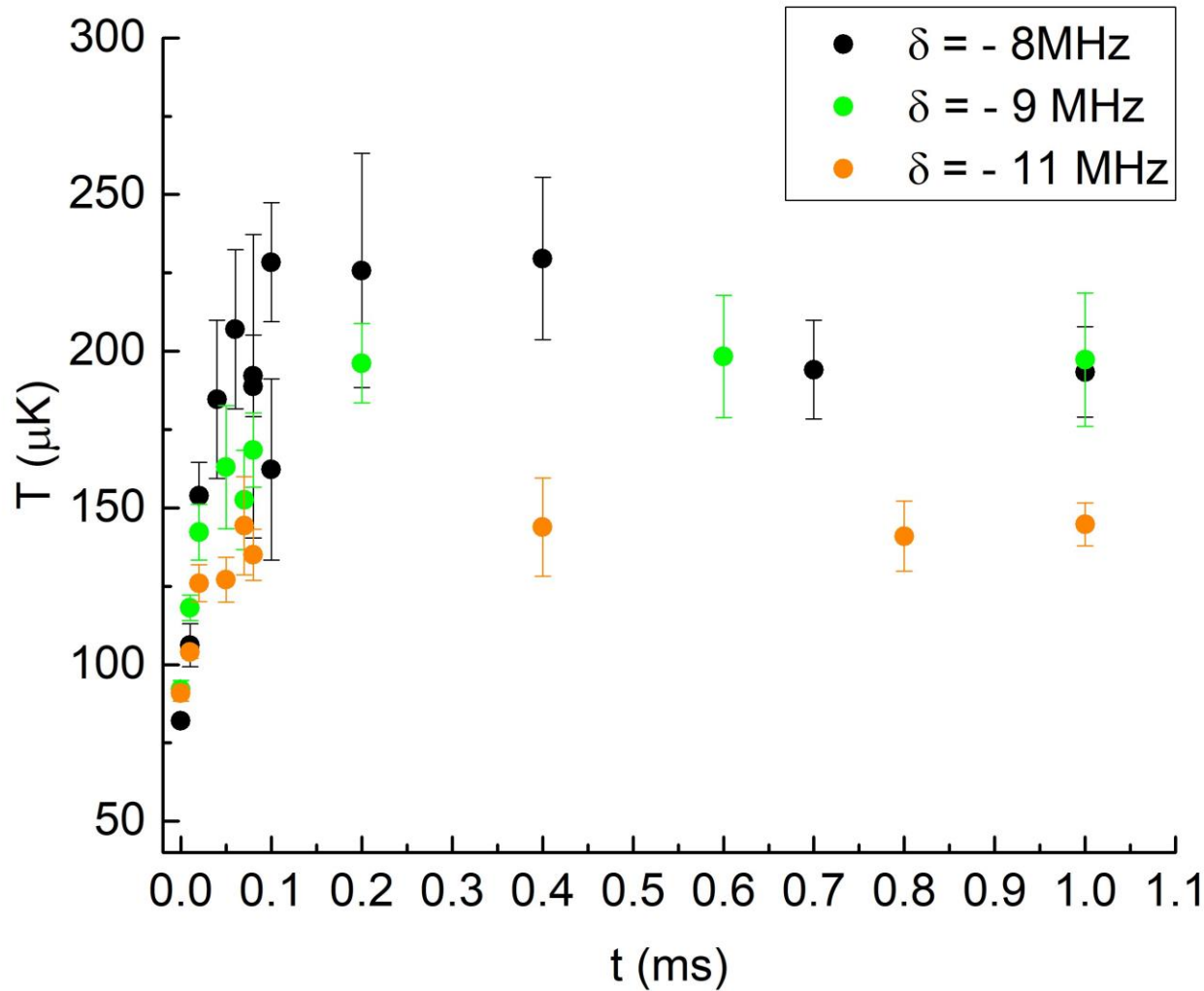
a)



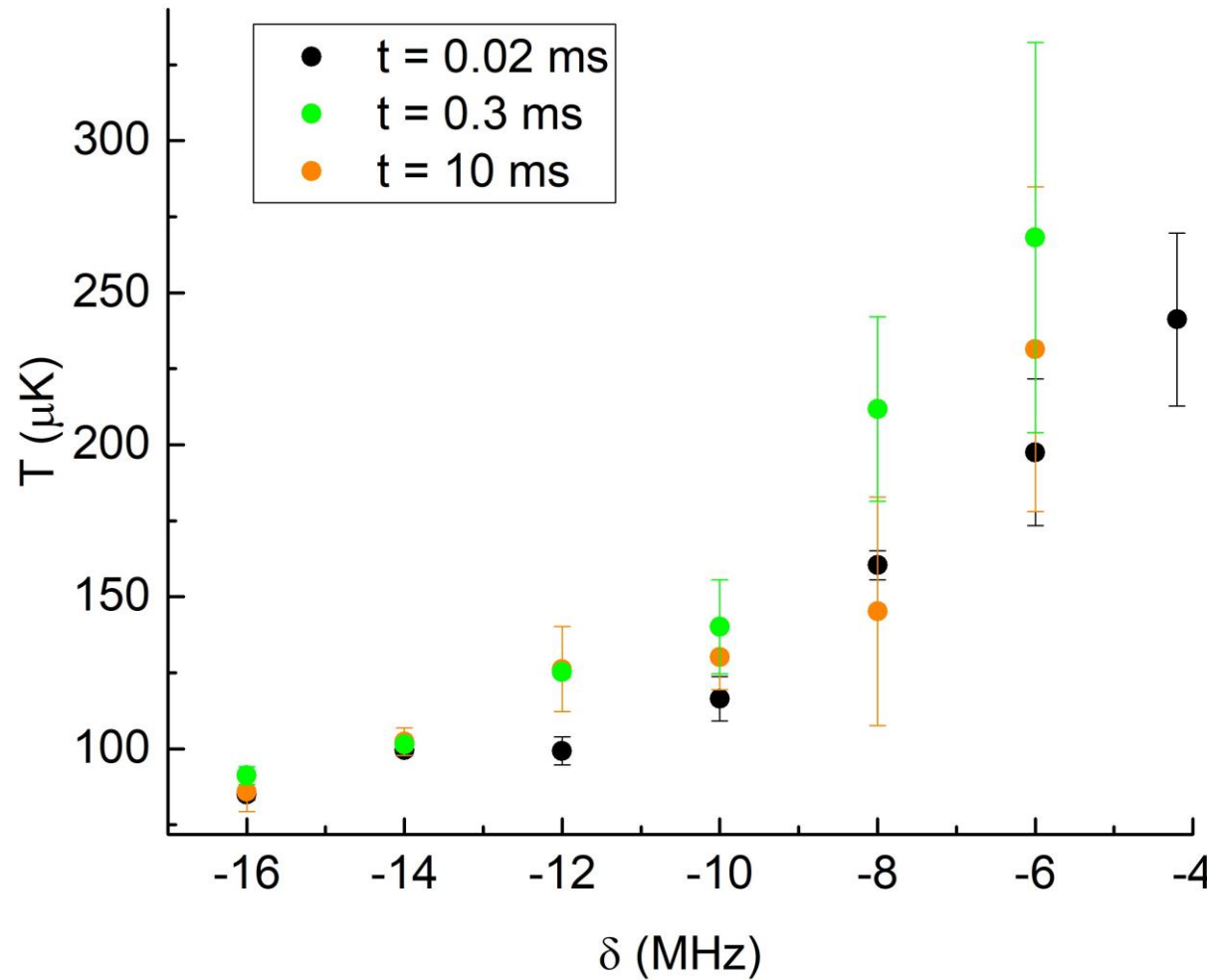
b)



Broj atoma u ovisnosti o frekventnom odmaku lasera za hlađenje u slučaju a) jedne i b) dvije faze hlađenja. Prva faza traje 1500 ms, a druga 0.3 ms. Broj atoma normiran je na jedinicu.



Graf ovisnosti temperature o vremenu druge faze hlađenja za tri različita odabira frekventnog odmaka lasera za hlađenje. Prva faza hlađenja provodi se laserom na odmaku od -16 MHz i traje 1500 ms .



- postignuta temperatura
rezultat je balansa između
hlađenja (odgovorna radijativna
sila) i grijanja (difuzija)

Graf ovisnosti temperature o frekventnom odmaku lasera za hlađenje za tri različita vremena trajanja druge faze hlađenja. Prva faza hlađenja provodi se laserom na odmaku od -16 MHz i traje 1500 ms .

Hvala na pažnji!

